

# LA MESURE DES ETATS DE SURFACE

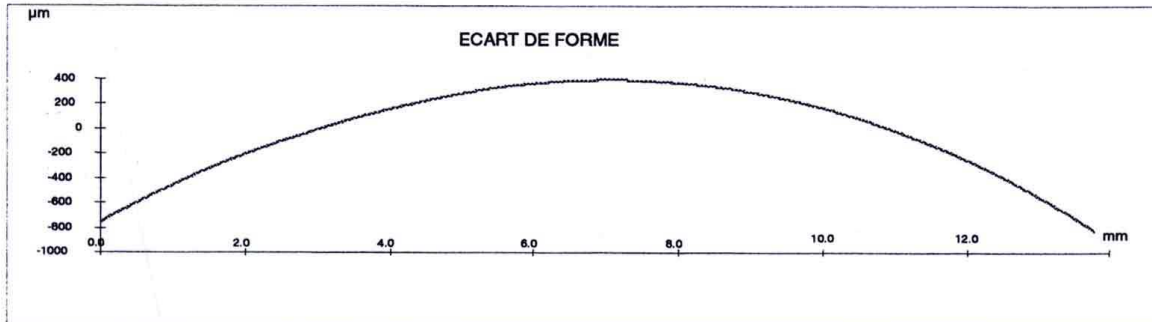
## 1 Introduction

### 1.1 Généralités

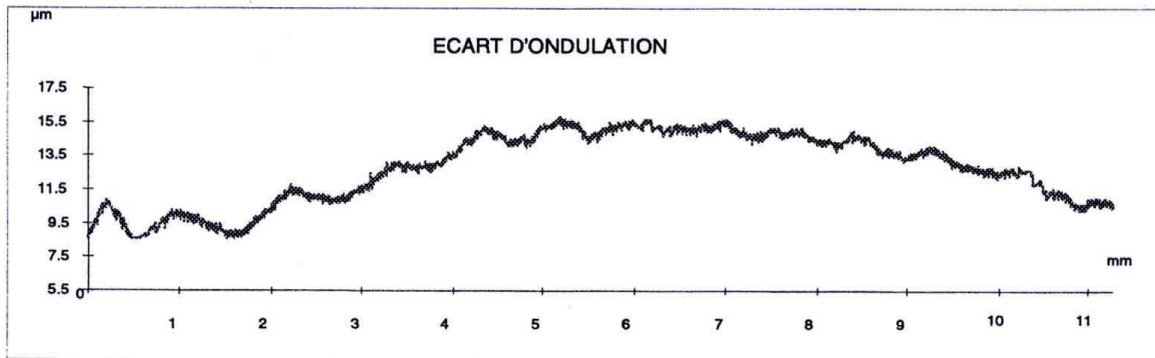
Consiste à caractériser la micro-géométrie d'une surface

Un profil d'état de surface sera décomposé en écarts géométriques de 4 ordres

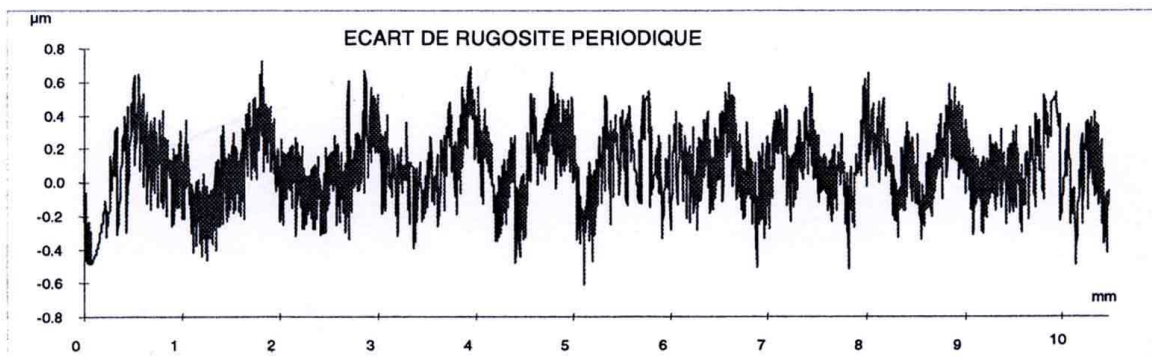
- Ordre 1 : Ecarts de forme



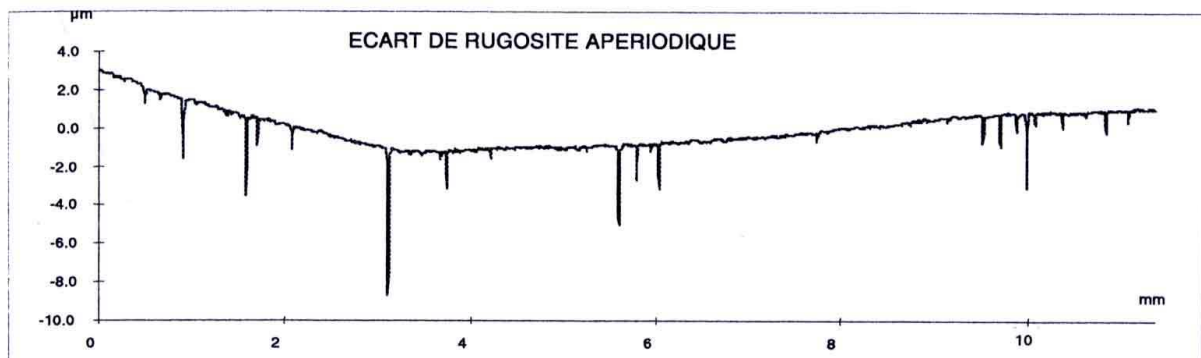
- Ordre 2 : Ecarts d'ondulation



- Ordre 3 : Ecarts de rugosité périodique ( Stries , sillons )



- Ordre 4 : Ecarts de rugosité apériodique ( Arrachements , fentes , piqûres )



On s'intéresse aux ordres 2, 3 et 4

La seule méthode reconnue par les normes consiste à enregistrer un profil à l'aide d'un instrument à contact puis à en effectuer son traitement.

On pourra consulter le tableau ci-dessous qui donne la liste des normes sur les états de surface.

Référence	Date de publication	Titre
NF EN ISO 3274	Mars 1998	Spécification Géométrique des Produits (GPS) Etat de surface : Méthode du Profil Caractéristiques nominales des appareils à contact (palpeur)
NF EN ISO 4287	1997/98 Rectificatif technique	Spécification Géométrique des Produits (GPS) Etat de surface : Méthode du Profil Termes, définitions et paramètres d'états de surface
NF EN ISO 4288	Mars 1998	Spécification Géométrique des Produits (GPS) Etat de surface : Méthode du Profil Règles et procédures pour l'évaluation de l'état de surface
NF EN ISO 5436-1 ISO/DIS 5436-2	Août 2000 (1)	Etat de surface : Méthode du Profil : Etalons -1 : Mesures matérialisées -2 : Etalons logiciels
NF EN ISO 8785	Décembre 1999	Imperfections de surface – Termes, définitions et paramètres
NF EN ISO 11562	Mars 1998	Spécification Géométrique des Produits (GPS) Etat de surface : Méthode du Profil Caractéristiques métrologiques des filtres à phase correcte
NF EN ISO 12085	Mars 1998	Spécification Géométrique des Produits (GPS) Etat de surface : Méthode du Profil Paramètres liés aux motifs
NF EN ISO 1302	2002 (1)	Dessins Techniques Indication des états de surface
NF EN ISO 12179	Mai 2000	Spécification Géométrique des Produits (GPS) Etat de surface : Méthode du Profil Etalonnage des instruments à contact (palpeur)
NF EN ISO 13565-1	Mars 1998	Spécification Géométrique des Produits (GPS) Etat de surface : Méthode du Profil : Surfaces ayant des propriétés fonctionnelles différentes suivant les niveaux Partie 1 : Filtrage et conditions générales de mesurage Partie 2 : Caractérisation des hauteurs par la courbe du taux de longueur portante Partie 3 : Caractérisation des hauteurs utilisant la courbe de probabilité de matière pour des surfaces ayant deux composantes verticales aléatoires
NF EN ISO 13565-2	Mars 1998	
NF EN ISO 13565-3	1998	
(1) En cours de publication (2) En cours de révision		

## 1.2 Indication sur les dessins de définition (ISO 1302-2002)

L'analyse des fonctions telles que Frottement, Glissement, Roulement, Contrainte, Etanchéité, Aspect, doit permettre de satisfaire des caractéristiques géométriques telles que rugosité et ondulation de surface.

**a** : S'il y a une seule exigence d'état de surface ( $R_t 6,8$ ) préciser ici sa valeur maximale en  $\mu\text{m}$

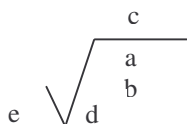
**b** : S'il y a plusieurs exigences d'état de surface indiquer :

- la 1<sup>ère</sup> exigence à la position **a**
- la 2<sup>ème</sup> exigence à la position **b** et ainsi de suite

**c** : Procédé de fabrication en toutes lettres (meulé, fraisé en bout etc)

**d** : Orientation des stries de surface

**e** : Surépaisseur d'usinage sous forme numérique en mm



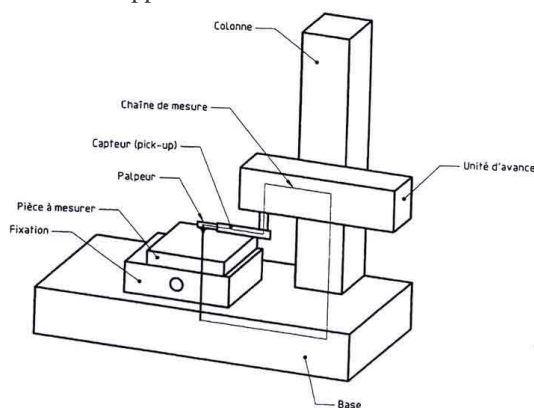
## 1.3 Les Appareils de mesure (ISO 3274)

On utilise des profilomètres.

On tire sur la surface un palpeur muni d'un stylet fin équipé d'une pointe en diamant.

Pour faire une bonne mesure, tenir compte de tous les paramètres liés aux appareils :

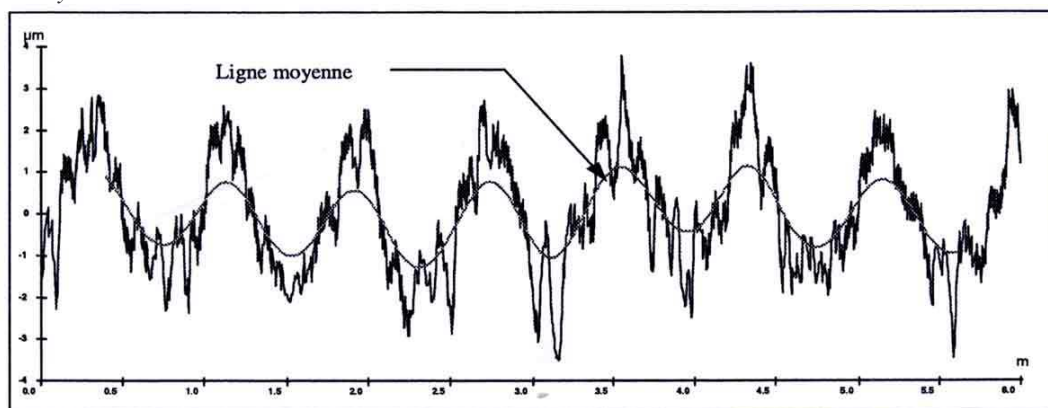
- Environnement (éviter les vibrations)
- Rayon et angle de la pointe en diamant ( $2\mu\text{m}$ )
- Pression de palpation ( $10^{-3}\text{N}$ )
- Course de palpation (120 mm maxi)
- Vitesse de palpation (0,5 et 1 mm/s)
- Amplitude verticale du palpeur ( $\pm 500\mu\text{m}$ )
- Résolution de l'appareil
  - verticale : 16 nm
  - Horizontale :  $0,25\mu\text{m}$
- Réglage du gain
- Différentes caractéristiques à mesurer
- Modes de filtrage (paramétrables)



## 1.4 Les Méthodes

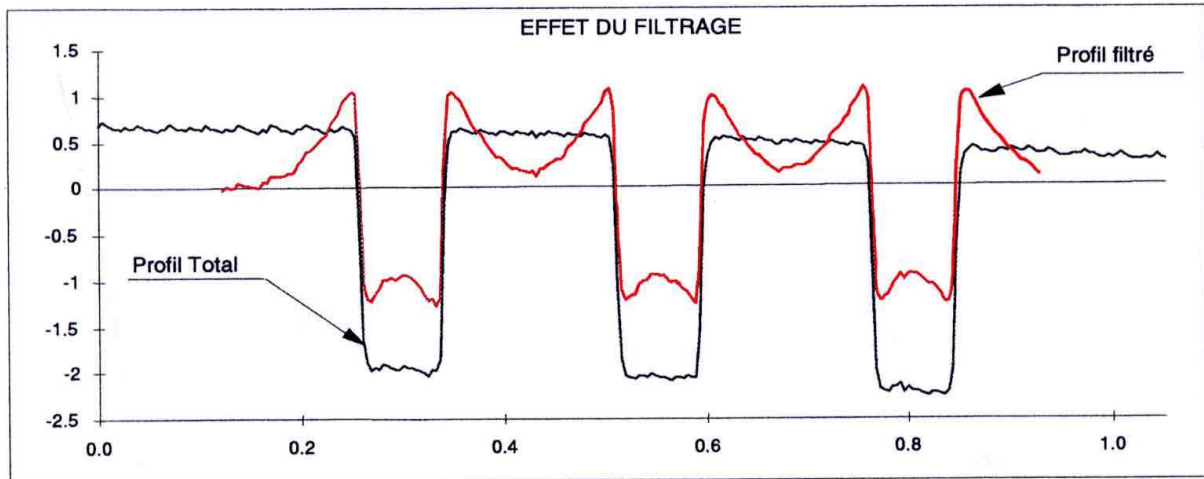
### 1.4.1 La Méthode de la ligne moyenne

Après avoir retiré la forme du profil total, on opère un filtrage du profil mesuré pour l'analyser. Le filtre génère une *ligne moyenne* d'où le nom de la méthode.



Plusieurs types de filtres sont normalisés

- Filtres électriques de type RC , les plus anciens que l'on trouve sur les anciens appareils. Ils introduisent une déformation et un déphasage dans le signal. Leur emploi tend à disparaître au profit des filtres gaussiens.
- Filtres gaussiens, issus des technologies numériques. Ils évaluent les composantes de rugosité et d'ondulation en un seul filtrage sans introduire de déphasage. On distingue ci-dessous le profil réel en noir du profil filtré en rouge.



Certains appareils sont munis de patins. Le patin a pour but de filtrer mécaniquement l'ondulation et certaines vibrations. Son emploi est à éviter, car mal utilisé, il peut amplifier anormalement un signal

#### 1.4.2 La Méthode de la ligne enveloppe supérieure

Cette méthode, mise au point en France par l'industrie automobile qui en a généralisé l'utilisation, est également dite **méthode des motifs**. On applique un algorithme de type « Reconnaissance de forme sur le profil mesuré pour en évaluer les différents écarts géométriques. ( Voir page 7 )

Le système de la ligne moyenne n'est pas toujours adapté à la caractérisation de certaines surfaces car ne prenant pas en compte leurs fonctionnalités. Pour avoir une approche fonctionnelle, il faut tenir compte des parties actives de la surface orientées vers l'extérieur de la pièce.

#### 1.4.3 La Méthode de la courbe de portance ( ISO 13565 )

Le taux de longueur portante est le rapport entre la somme des longueurs portantes du profil à une profondeur donné  $c$ , et la longueur d'évaluation. ( Voir chap 4.4)

La courbe de portance décrit la variation du taux de longueur portante en fonction de l'augmentation de la profondeur du profil de rugosité.

Cette courbe est utilisée pour prévoir la tenue à l'usure d'une pièce suivant trois critères :

- Le critère de rodage où les pics les plus saillants vont être usés et disparaître pendant les premières heures de fonctionnement. L'absence de ce critère limitera d'autant le temps de rodage d'un moteur.
- Le critère de fonctionnement, qui représente la quantité de matière disponible à l'usure. Plus cette quantité est disponible, plus un moteur fonctionnera longtemps.
- Le critère de lubrification qui détermine les creux disponibles et toujours utiles pour retenir un lubrifiant . L'absence ou la disparition des creux entrainera le grippage d'un moteur.

Ces paramètres permettent une caractérisation complémentaire de la microgéométrie des surfaces.

## 1.5 Les Paramètres (ISO 4287, 12085, 13565)

Parmi la cinquantaine de paramètres différents permettant de caractériser les états de surface, tous ne sont pas normalisés, d'autres comme  $R_z$ ,  $R_y$  ou  $R_m$  ont disparu et d'autres sont normalisés mais non utilisés. Devant le choix important, les critères les plus utilisés sont  $R_a$  ou  $R_c$  ce qui dans beaucoup de cas satisfait plus le dessinateur que la fonction de la surface.

Seules l'expérience et la connaissance de la fonction permettent de choisir les paramètres significatifs et les tolérances à y affecter.

Le tableau "Relation entre la méthode des motifs et la fonction des surfaces ci-dessous peut être consulté.

Surface		Fonction appliquée à la pièce	Paramètres								
			Profil de rugosité			Profil d'ondulation			profil total		
			R	Rx	AR	W	Wx	Wte	AW	Pt	Pδc
Contact de deux pièces	avec déplacement relatif	Glissement lubrifié	◆			≤0,8R			◇		◆
		Frottement à sec	◆		◇		◆		◇		
		Roulement	◆			≤0,3R	◆		◇		◇
		Résistance au matage	◇		◇	◇			◇		◆
		Frottement d'un fluide	◆		◇				◇		
		Etanchéité									
	assemblage fixe	avec joint	◆	◇	◇	≤0,6R	◆		◇		
		sans joint	◇	◆		≤0,6R					◆
		avec joint	◇	◆		≤ R		◇	◇		
		sans joint	◇	◆		≤ R		◆			
		Ajustement fixe avec contrainte	◇							◆	
		Adhérence (collage)	◆						◇		
Surface indépendante	avec contrainte	Outils (face de coupe)	◇		◇	◆			◆		
		Résistance aux efforts alternés	◇	◆	◇						◇
	sans contrainte	Résistance à la corrosion	◆	◆							
		Revêtement (peinture)			◇				◇		
		Dépôt électrolytique	◆	≤ 2R	◆						
		Mesurage	◆			≤ R					
		Aspect	◆		◇	◇			◇		

◆ Paramètres principaux : spécifier au moins l'un d'eux

◇ Paramètres secondaires : à spécifier éventuellement selon la fonction de la pièce

## 2 Les différents Types de Profils (ISO 3274)

Le Profil Brut

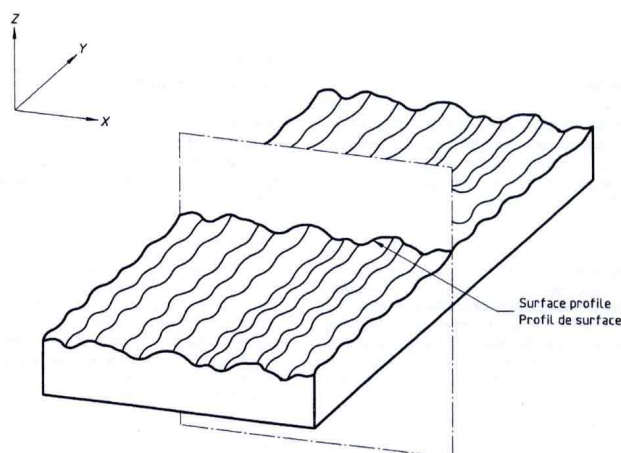
Profil résultant de l'intersection de la surface et d'un plan spécifié

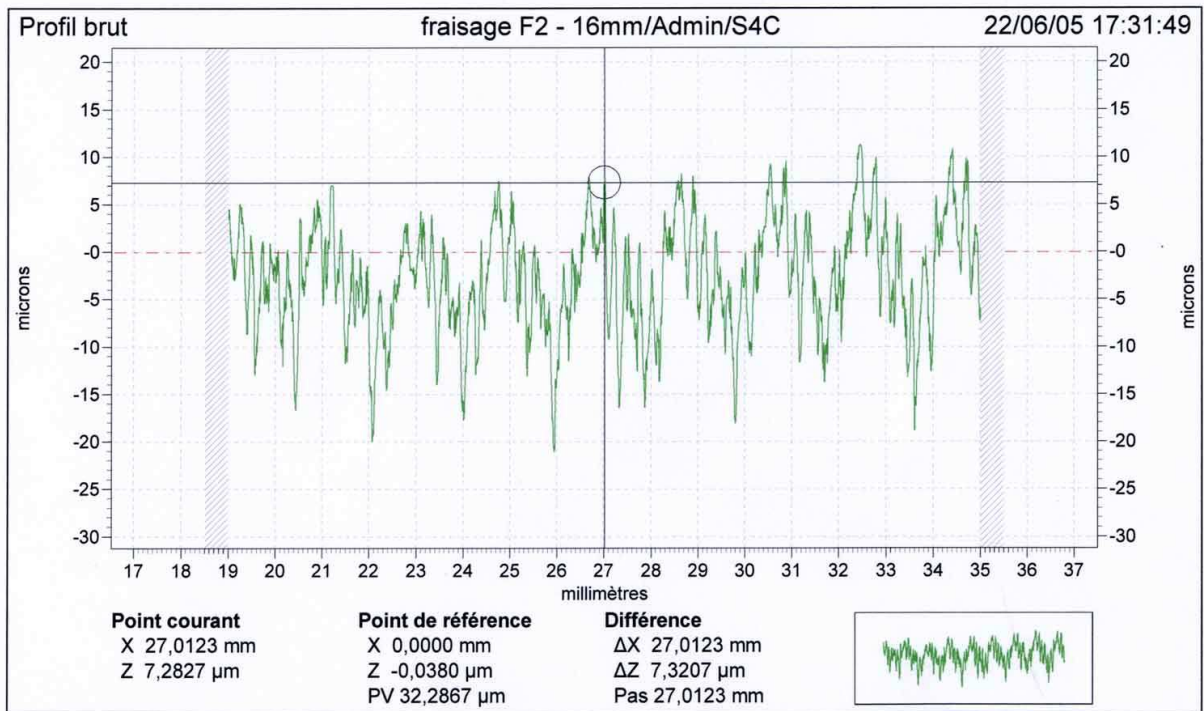
Axe X = direction de palpage

Axe Z = axe d'enregistrement des écarts (>0 vers l'extérieur de la matière)

L'unité d'avance guide le capteur selon une référence rectiligne.

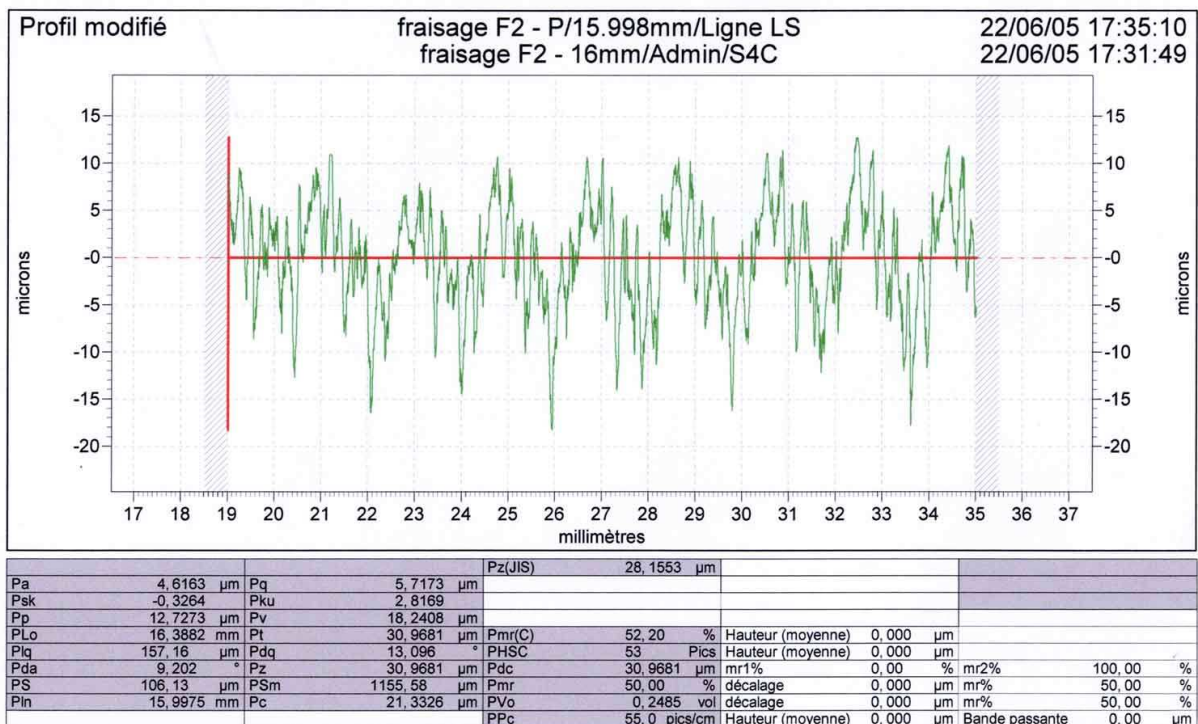
Les écarts de parallélisme entre la génératrice de la pièce et la référence de guidage de l'appareil apparaissent sur ce profil.





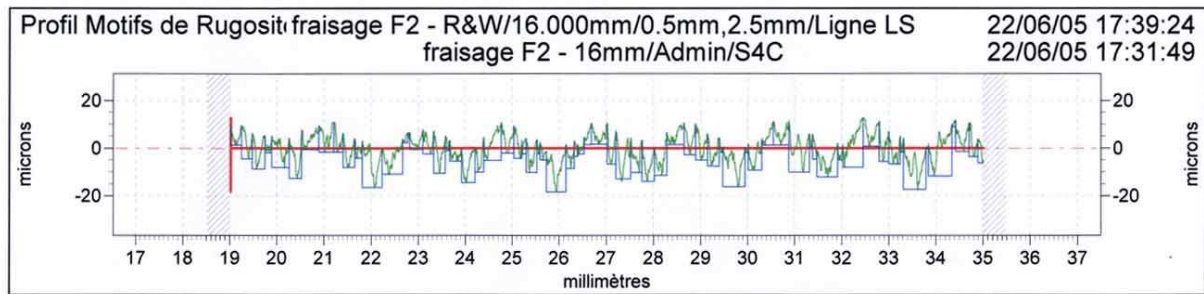
### Le Profil Primaire

Profil issu du profil brut après application du filtre de longueur d'onde courte  $\lambda_s$  qui sépare les composantes de rugosité des composantes d'onde encore plus courtes (arrachements) présentes sur la surface et après optimisation aux moindres carrés qui redresse le profil brut. Il est la base du traitement numérique du profil au moyen d'un filtre de profil et du calcul des paramètres.



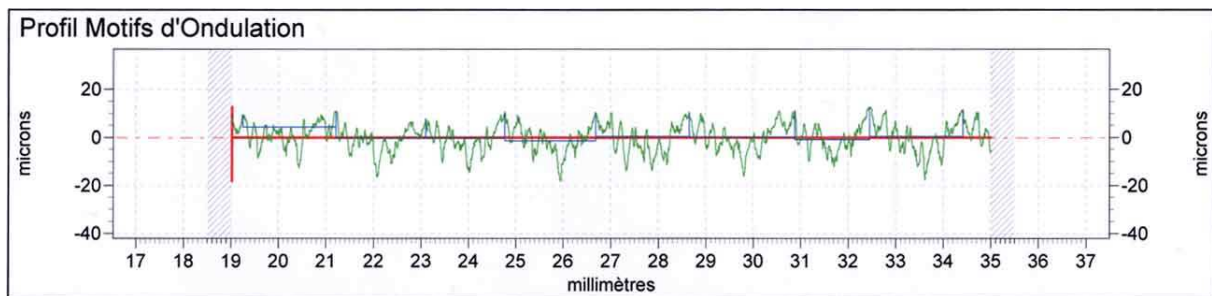
### Le Profil de Rugosité

Profil dérivé du profil primaire par suppression des composantes de grande longueur d'onde (ondulation) en appliquant le filtre de profil  $\lambda_c$  qui sépare les composantes de rugosité des composantes d'ondulation. Ce profil est intentionnellement modifié et sert de base à l'évaluation des paramètres de rugosité.



### Le Profil d'ondulation

Profil dérivé du profil primaire par application successive des filtres de profil  $\lambda_f$  et  $\lambda_c$  supprimant ainsi les composantes de très grande longueur d'onde à l'aide du filtre de profil  $\lambda_f$  et les composantes de faible longueur d'onde à l'aide du filtre de profil  $\lambda_c$ . Ce profil est intentionnellement modifié et sert de base à l'évaluation des paramètres d'ondulation.



		Pente		0,013		°	
Pt	30,87	µm	Rx	21,72	µm	W	10,25
R	10,45	µm	Wx	13,59	µm	Aw	1896,5
Ar	235,0	µm	Sr	5,17	µm	Sw	2,27
Wte	14,11	µm	Sar	123,3	µm	Saw	198,8

## 3 Le Filtrage (ISO 11562)

On utilise un filtre de profil qui sépare le profil en composantes de longueur d'onde longue (ondulation  $0,1\text{mm} < \lambda < 10\text{mm}$ ) et en composantes de longueur d'onde courte (rugosité  $0,1\mu\text{m} < \lambda < 10\mu\text{m}$ )

### 3.1 Caractéristique de transmission de la composante de profil à longueur d'onde longue

La caractéristique du filtre faisant passer l'ondulation et retenant la rugosité correspond à l'équation suivante

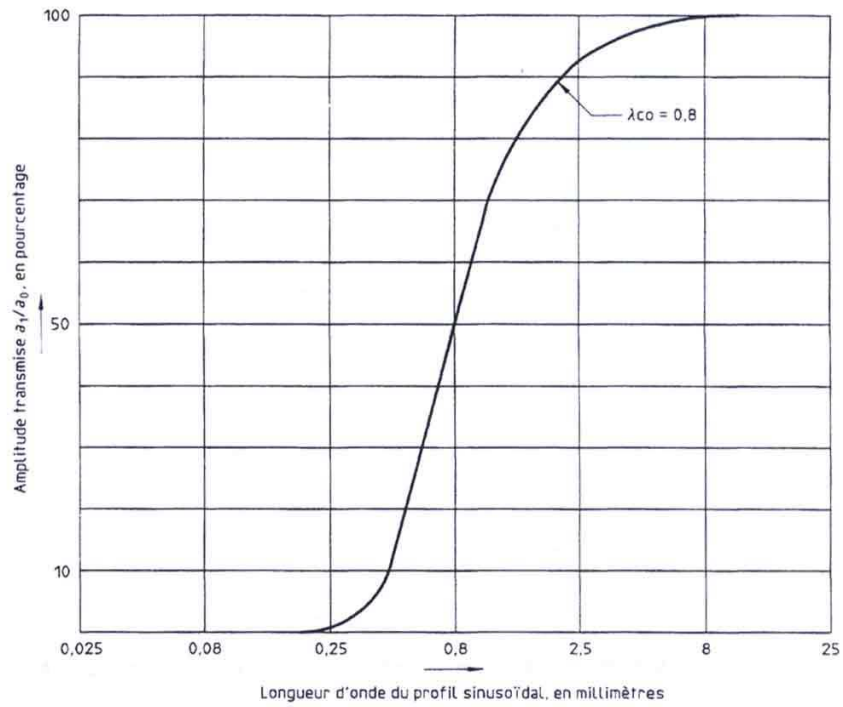
$$\frac{a_1}{a_0} = e^{-\pi \left( \frac{\lambda_{co}}{\lambda} \right)^2}$$

$a_0$  = amplitude d'un profil de rugosité sinusoïdal avant filtrage

$a_1$  = amplitude de la ligne moyenne de ce profil sinusoïdal

$\lambda_{co}$  = longueur d'onde de coupure du filtre de profil (co = cut-off)

$\lambda$  = longueur d'onde du profil sinusoïdal

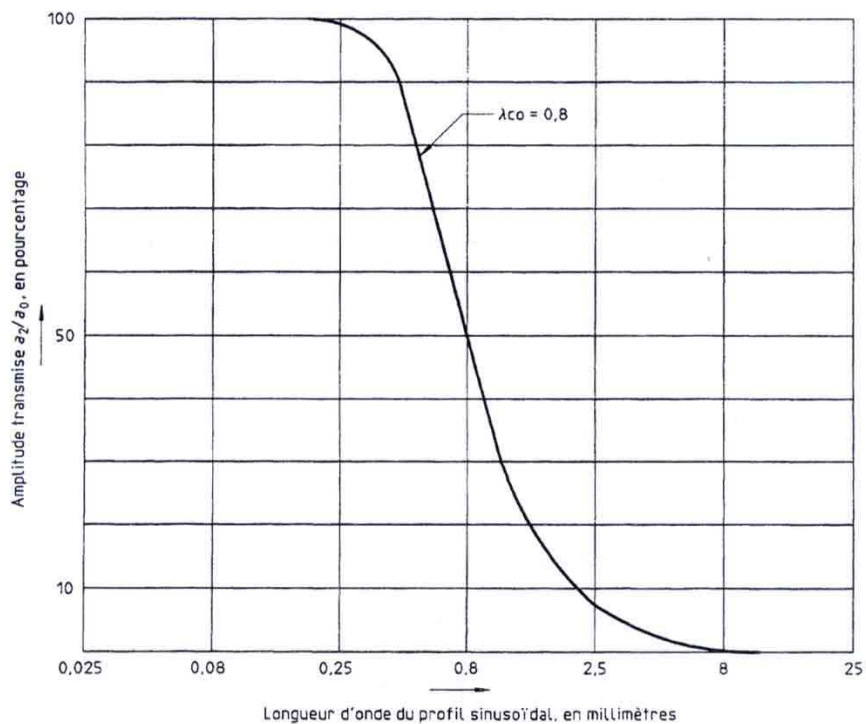


### 3.2 Caractéristique de transmission de la composante de profil à longueur d'onde courte

La caractéristique du filtre faisant passer la rugosité et retenant l'ondulation correspond à l'équation suivante

$$\frac{a_2}{a_0} = e^{1-\pi\left(\frac{\alpha \lambda_{co}}{\lambda}\right)^2} \quad ; \quad \frac{a_2}{a_0} = 1 - \frac{a_1}{a_0}$$

$a_2$  = amplitude d'un profil de rugosité sinusoïdal



On retiendra que, en utilisant un filtre dont la longueur d'onde de coupure vaut 0,8mm sur un profil ayant une longueur d'onde de 0,8 mm , ce filtre ne transmet que 50% de l'amplitude de ce profil.

### 3.3 Bande de transmission des profils

C'est la bande des longueurs d'onde d'un profil sinusoïdal qui sont transmises à plus de 50% lorsque deux filtres à phase correcte de longueur d'onde de coupure différentes sont appliquées au profil.

Filtre de profil  $\lambda_s$

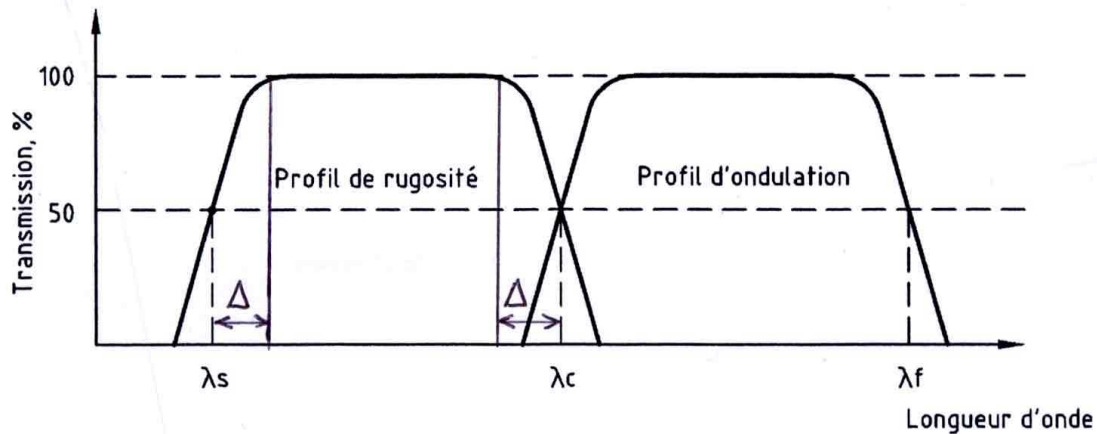
filtre qui sépare les composantes de rugosité des composantes d'onde encore plus courtes (arrachements) présentes sur la surface

Filtre de profil  $\lambda_c$

Filtre qui sépare les composantes de rugosité des composantes d'ondulation

Filtre de profil  $\lambda_f$

Filtre qui supprime les composantes de très grande longueur d'onde en laissant passer les composantes de faible longueur d'onde (ondulation)

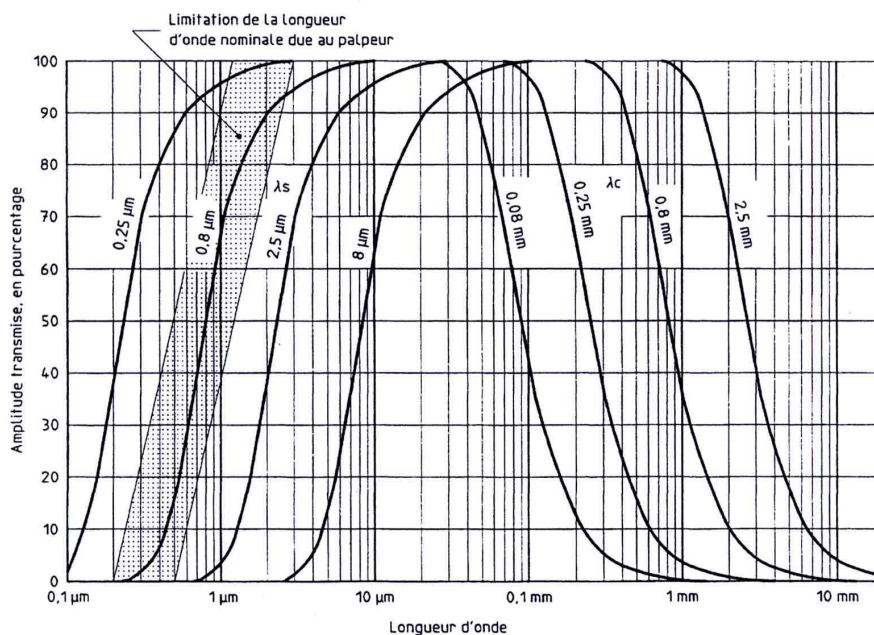


Les valeurs normalisées des longueurs d'onde sont les suivantes :

0,0025 / 0,008 / 0,025 / 0,08 / 0,25 / 0,8 / 2,5 / 8 / 25 mm

Pour qu'un profil de rugosité soit correctement calculé après application des deux filtres  $\lambda_s$  et  $\lambda_c$  le pas de la rugosité AR doit être compris entre  $\lambda_s + \Delta$  et  $\lambda_c - \Delta$ .

La valeur de  $\Delta$  peut être déterminée grâce au graphique ci-dessous qui montre la zone d'incertitude de la caractéristique d'un palpeur de rayon  $2\mu\text{m}$ .



## 4 Paramètres relatifs à la Norme NF EN ISO 4287

Cette norme définit différents paramètres de rugosité en les classant en 4 familles

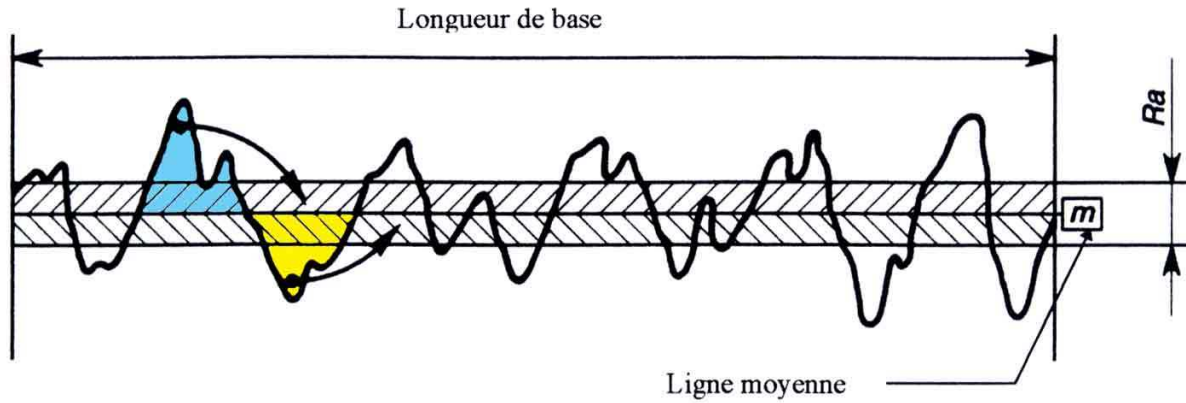
- Paramètres d'amplitude
- Paramètres d'espacement
- Paramètres hybrides
- Courbes et paramètres associés

### 4.1 Paramètres d'amplitude

Paramètres de Profil total	Paramètres de rugosité	Paramètres d'ondulation	Significations	Définition
<b>SAILLIES et CREUX</b>				
Pp	Rp	Wp	Hauteur maxi de saillie du profil	Max ( Zp <sub>i</sub> )
Pv	Rv	Wv	Profondeur de creux maxi du profil	Max ( Zv <sub>i</sub> )v
Pz	Rz	Wz	Hauteur maxi du profil	Max (Zp <sub>i</sub> )+Max (Zv <sub>i</sub> ) ⇒ Rz = Rp + Rv
Pc	Rc	Wc	Hauteur moyenne des éléments du profil	$\frac{1}{m} \sum_{i=1}^m Z_{t_i}$
Pt	Rt	Wt	Somme de la plus grande des hauteurs de saillie Zpi et de la plus grande profondeur des creux Zvi ( sur la longueur d'évaluation alors que les 4 paramètres précédents sont déterminés sur une longueur de base avec l'évaluation ≥ l base )	⇒ Rt ≥ Rz
<b>MOYENNE DES ORDONNEES</b>				
Pa	Ra	Wa	Ecart moyen arithmétique du profil évalué ( sur une longueur de base ) avec l=l <sub>p</sub> ; l <sub>r</sub> ou l <sub>w</sub> suivant le cas	$\frac{1}{l} \int_0^l  Z(x)  dx$
Pq	Rq	Wq	Ecart moyen quadratique du profil évalué (sur une longueur de base) avec l=l <sub>p</sub> ; l <sub>r</sub> ou l <sub>w</sub> suivant le cas	$\sqrt{\frac{1}{l} \int_0^l Z^2(x) dx}$
Psk	Rsk	Wsk	Facteur d'asymétrie du profil (Skewness) défini sur la courbe de distribution d'amplitude avec l=l <sub>p</sub> ; l <sub>r</sub> ou l <sub>w</sub> suivant le cas (l <sub>r</sub> = longueur de base de rugosité)	$Rsk = \frac{1}{Rq^3} \left[ \frac{1}{l_r} \int_0^{l_r} Z^3(x) dx \right]$
Pku	Rku	Wku	Facteur d'aplatissement du profil (Kurtosis) défini sur la courbe de distribution d'amplitude avec l=l <sub>p</sub> ; l <sub>r</sub> ou l <sub>w</sub> suivant le cas ( sur une longueur de base )	$Rku = \frac{1}{Rq^4} \left[ \frac{1}{l_r} \int_0^{l_r} Z^4(x) dx \right]$

Remarques sur les paramètres d'amplitude :

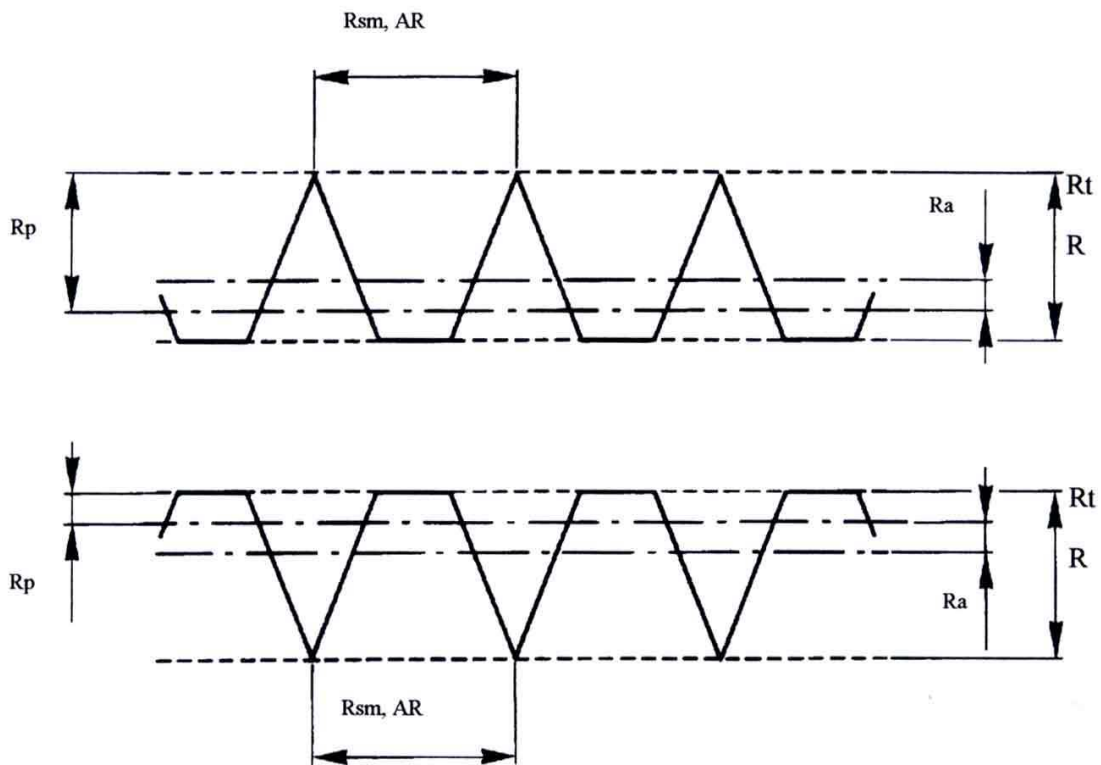
Paramètre Ra



Pour visualiser Ra, on répartit d'une manière uniforme les aires supérieures et inférieures autour de la ligne moyenne m. Ainsi l'on aura la relation suivante :

$$\sum \text{aires des creux} = \sum \text{aires des saillies} = \frac{1}{2} Ra \cdot \text{longueur de base}$$

Ra est égal à la hauteur de la bande obtenue



Sur les deux profils ci-dessus, on a : Ra , Rt , R , Rsm , et AR identiques  
Rp différent

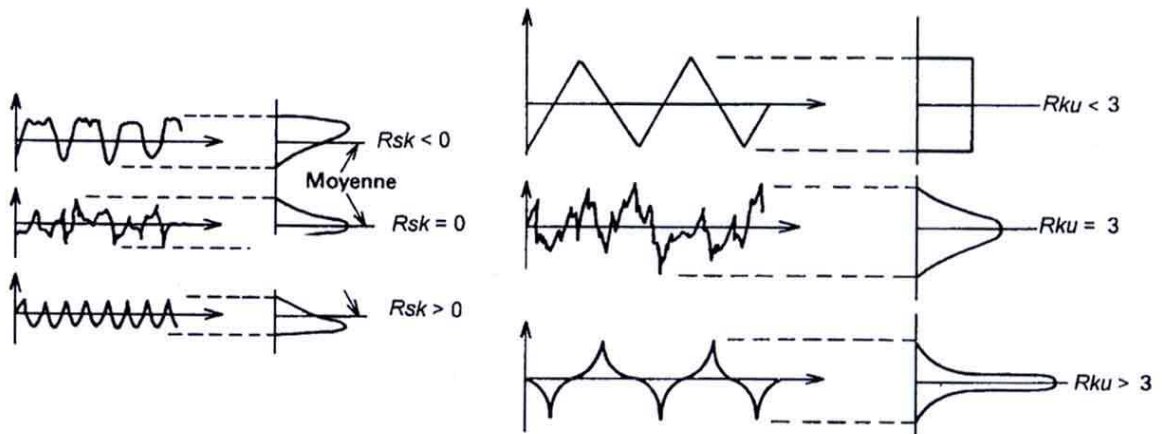
Le comportement mécanique des deux profils est très différent :

Le profil supérieur résiste très peu à l'usure

Le profil inférieur résistera bien à l'usure

## Paramètres Rsk , Rku

Rsk caractérise l'asymétrie et Rku l'aplatissement de la courbe de distribution d'amplitude. Ces deux paramètres sont fortement influencés par des saillies ou des creux isolés



Significations	
Cas 1 : Cas d'un profil plein ( les saillies les plus hautes sont écrêtées ) qui résistera bien à l'usure D'où Rsk < 0	Cas 1 : Cas d'un profil large d'où Rku < 3
Cas 2 : Cas d'un profil normal ( le nombre de points du profil est maximum autour de la ligne moyenne ; la courbe de distribution d'amplitude suit une loi normale ) d'où Rsk = 0	Cas 2 : Cas d'un profil normal ( le nombre de points du profil est maximum autour de la ligne moyenne ; la courbe de distribution d'amplitude suit une loi normale ) d'où Rku = 3
Cas 3 : Cas d'un profil creux qui résistera très peu à l'usure ( les saillies les plus hautes disparaîtront rapidement dès les premières heures de fonctionnement ) d'où Rsk > 0	Cas 3 : Cas d'un profil serré d'où Rku > 3

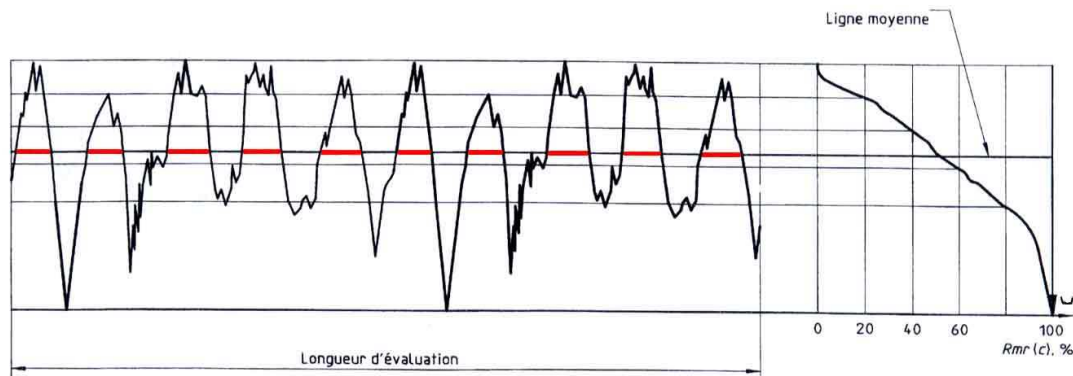
## 4.2 Paramètres d'espacement

Paramètres de Profil total	Paramètres de rugosité	Paramètres d'ondulation	Significations	Définition
Psm	Rsm	Wsm	Valeurs moyennes des largeurs des éléments du profil sur une longueur de base	$\frac{1}{m} \sum_{i=1}^m Xs_i$

## 4.3 Paramètres hybrides

Paramètres de Profil total	Paramètres de rugosité	Paramètres d'ondulation	Significations	Définition
PΔq	RΔq	WΔq	Valeurs quadratiques des pentes locales dZ / dX sur une longueur de base	$\frac{1}{m} \sum_{i=1}^m Xs_i$

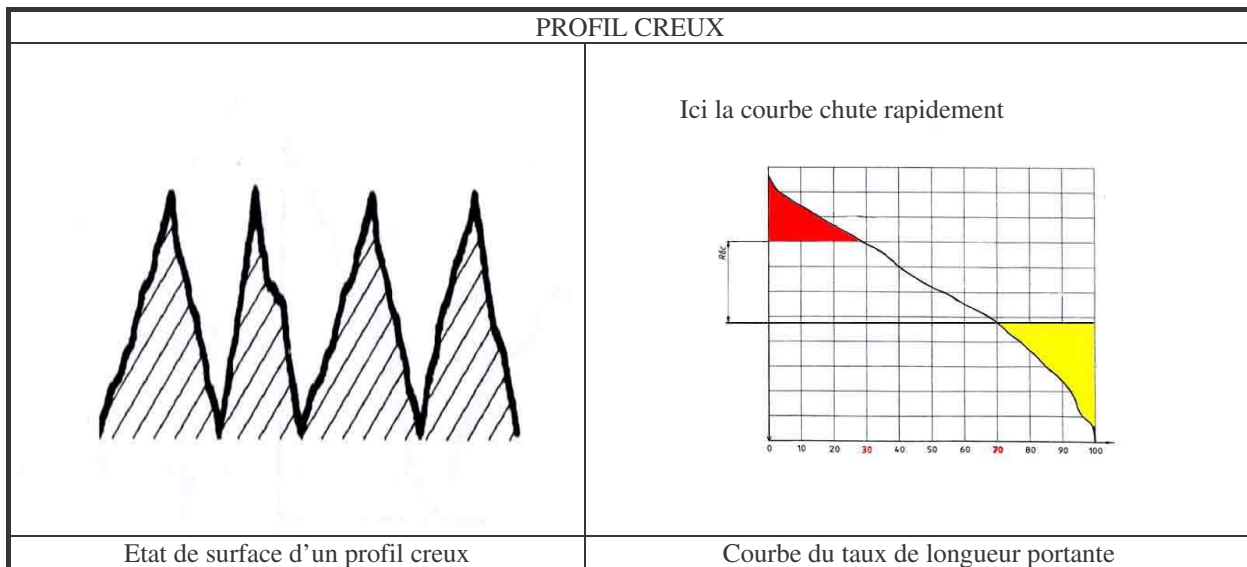
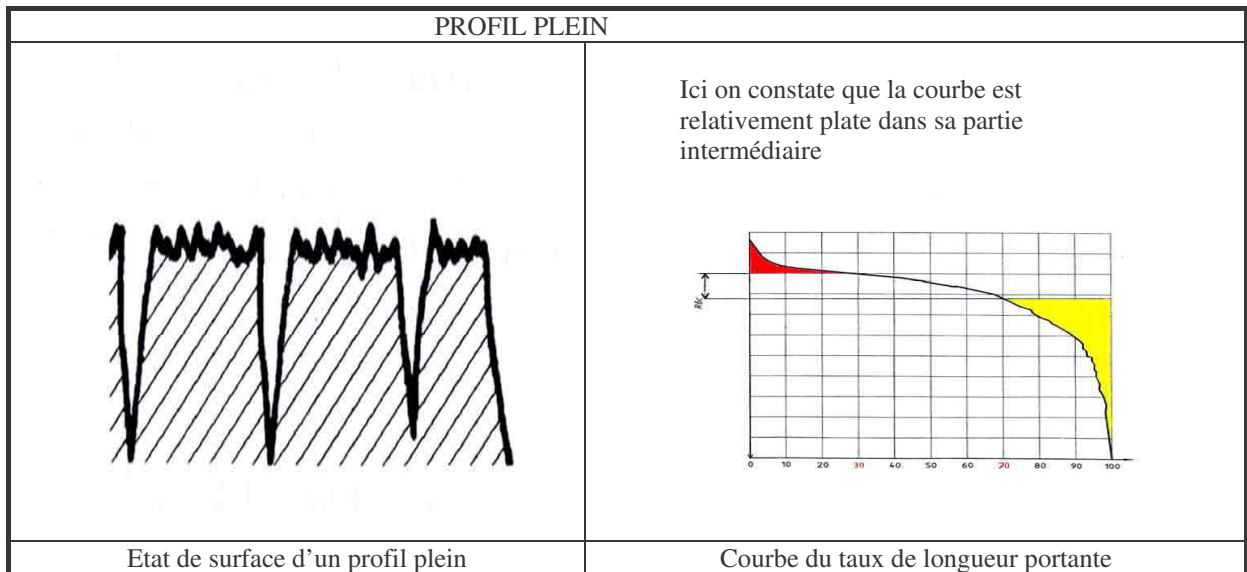
#### 4.4 Courbes et paramètres associés



**Courbe du taux de longueur portante**

La longueur portante est représentée par la **somme des segments rouges** qui vaut  $MI_{(c)}$

Paramètres de Profil total	Paramètres de rugosité	Paramètres d'ondulation	Significations	Définition
$Pmr(c)$	$Rmr(c)$	$Wmr(c)$	<p><b>TAUX DE LONGUEUR PORTANTE</b>                      Rapport de la longueur portante du profil à un niveau donné <math>c</math>, <math>MI(c)</math> à la longueur d'évaluation <math>l_e</math>                      ( Voir fig ci-dessus )</p>	$\frac{MI_{(c)}}{l_e}$
$P\delta c$	$R\delta c$	$W\delta c$	<p><b>DIFFERENCE DE HAUTEUR DE COUPE DU PROFIL</b>                      Distance entre 2 niveaux de coupe correspondant à des taux de longueur portante donnés</p> 	$R\delta c = c_1 - c_0$
$Pmr$	$Rmr$	$Wmr$	<p><b>TAUX DE LONGUEUR PORTANTE RELATIF</b>                      Taux de longueur portante déterminé pour un niveau de coupe, à une hauteur <math>R\delta c</math> par rapport à une référence <math>c_0</math></p>	Exemple : $Rmr = Rmr(c_1)$ Où $c_1 = c_0 + R\delta c$ $c_0 = c(Rmr_0)$



### Remarques concernant la courbe du taux de longueur portante

Elle représente la variation du taux de longueur portante en fonction de l'augmentation en profondeur du profil.

Pmr(c) : Pourcentage portant par rapport au profil total non filtré qui intègre forme, ondulation et rugosité

Wmr(c) : Pourcentage portant de l'ondulation sur un profil résultant d'un filtrage passe-bas

Rmr(c) : Pourcentage portant de la rugosité sur un profil résultant d'un filtrage passe-haut

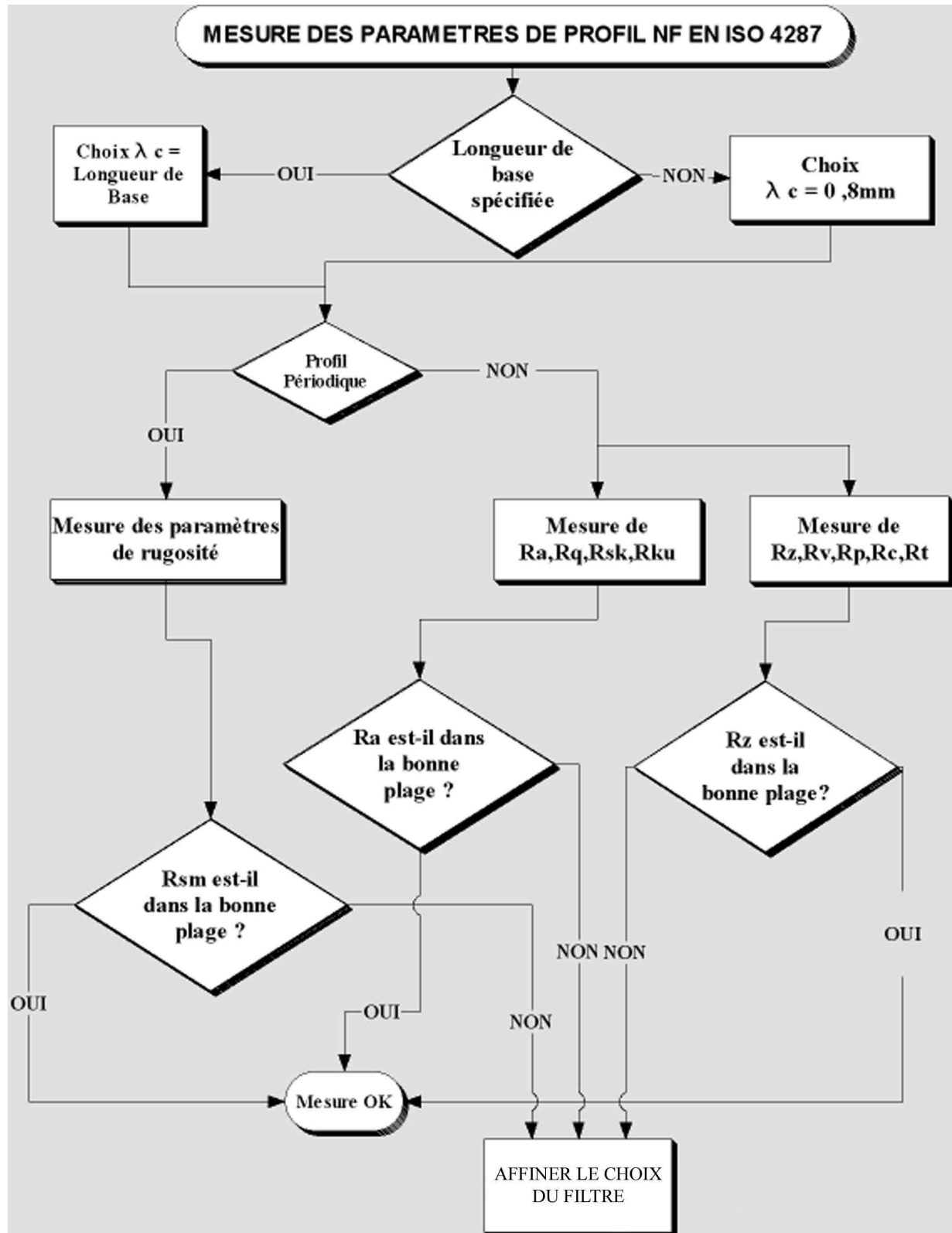
Cette courbe permet de prévoir le comportement à l'usure d'une surface. On y distingue 3 zones :

- **ZONE DE RODAGE en rouge** qui correspond aux pics les plus saillants qui vont être usés rapidement durant les premières heures de fonctionnement
- Zone de fonctionnement qui définit la quantité de matière disponible à l'usure
- **ZONE DE LUBRIFICATION en jaune** qui indique les creux disponibles pour retenir le lubrifiant nécessaire au bon fonctionnement

En considérant une bande de 40 % de Pmr(c) centrée sur Pmr(c) = 50% on constate que :

$$R\delta c(\text{profil creux}) \gg R\delta c(\text{profil plein})$$

#### 4.5 Organigramme décisionnel



Les plages de Ra, Rz et Rsm sont définies dans les tableaux ci-dessous

Remarque : La longueur de base est égale à la longueur d'onde du filtre de profil  $\lambda_c$

Longueurs de base pour le mesurage de Ra, Rq, Rsk, Rku, RΔq et pour les courbes et paramètres associés de profils non-périodiques

Mesure de Ra $\mu\text{m}$	Longueur de base de la rugosité	Longueur d'évaluation de la rugosité
$0,006 < Ra \leq 0,02$	0,08	0,4
$0,02 < Ra \leq 0,1$	0,25	1,25
$0,1 < Ra \leq 2$	0,8	4
$2 < Ra \leq 10$	2,5	12,5
$10 < Ra \leq 80$	8	40

Longueurs de base pour le mesurage de Rz, Rv, Rp, Rc, Rt de profils non-périodiques

Mesure de Rz $\mu\text{m}$	Longueur de base de la rugosité	Longueur d'évaluation de la rugosité
$0,025 < Rz \leq 0,1$	0,08	0,4
$0,1 < Rz \leq 0,5$	0,25	1,25
$0,5 < Rz \leq 10$	0,8	4
$10 < Rz \leq 50$	2,5	12,5
$50 < Rz \leq 200$	8	40

Longueurs de base pour le mesurage des paramètres R de profils périodiques et de Rsm de profils périodiques ou non-périodiques

Mesure de Rsm $\mu\text{m}$	Longueur de base de la rugosité	Longueur d'évaluation de la rugosité
$13 < Rsm \leq 40$	0,08	0,4
$40 < Rsm \leq 130$	0,25	1,25
$130 < Rsm \leq 400$	0,8	4
$400 < Rsm \leq 1300$	2,5	12,5
$1300 < Rsm \leq 4000$	8	40

Les différentes longueurs d'exploration sont fonction de la longueur d'onde de coupure du filtre  $\lambda_c$

Longueur d'onde de coupure $\lambda_c$ (mm)	0,08	0,25	0,8	2,5	8
Longueur d'évaluation par défaut (mm)	0,4	1,25	4	12,5	40

# 5 Méthode des motifs : principaux paramètres et interprétation

Les paramètres de rugosité et d'ondulation fonctionnels sont :

R , Rx , AR , W , Wx , Wte et Pδc

Les paramètres P sont calculés sur le profil primaire

Les paramètres R sont calculés sur le profil de rugosité

Les paramètres W sont calculés sur le profil d'ondulation

## 5.1 Les paramètres du profil primaire ( ISO 4287 et 13565 )

### 5.1.1 Paramètre Pδc ( voir illustration au chap 4.4 )

Pδc = C<sub>2</sub> - C<sub>1</sub>  
 = C(Pmr<sub>2</sub>) - C(Pmr<sub>1</sub>)  
 = Différence de hauteur de coupe  
 = Distance verticale entre deux niveaux de coupe d'une courbe de taux de longueur portante

Interprétation :

a) Profil faiblement crevassé

En considérant les 40 % de la zone centrale, on remarque que Pδc est très faible.

On indiquera une valeur limite supérieure sur les dessins dans le cas de surfaces très sollicitées :

- Surfaces de glissement lubrifiées telles que chemises et pistons
- Surfaces de glissement
- Surfaces de roulement

b) Profil fortement crevassé

Plus le profil est crevassé, plus la pente de la zone centrale est importante

Il est conseillé d'indiquer le paramètre Pδc dans les cas de sollicitations suivantes :

- Frottement de glissement ( FG ) pour limiter l'usure
- Résistance au matage ( RM ) pour éviter l'écrasement de la matière
- Etanchéité dynamique sans joint ( ED ) pour limiter les fuites
- Assemblage avec contraintes ( AC ) pour résister à la fatigue

## 5.2 Les paramètres de rugosité

### 5.2.1 Paramètre R ( ISO 12085 )

R = Profondeur moyenne des motifs de rugosité

= Moyenne arithmétique des profondeurs H<sub>j</sub> des motifs de rugosité

$$R = \frac{1}{m} \sum_{j=1}^m H_j \quad \text{avec } m = \text{nombre de valeurs } H_j$$

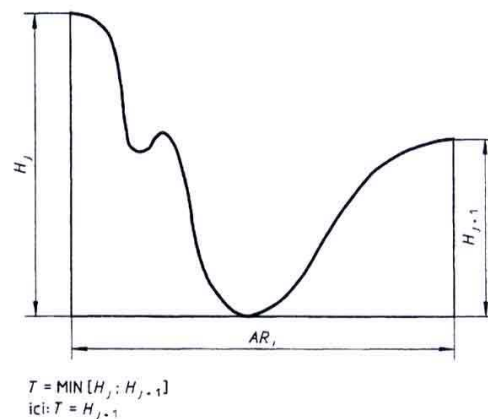
Définition du motif :

Portion du profil comprise entre les points les plus hauts de 2 saillies locales du profil consécutives ou non

Caractéristique du motif : T = MIN ( H<sub>j</sub> , H<sub>j+1</sub> )

On retient la valeur la plus faible de chaque motif pour calculer R

R donne alors une image globale des profondeurs des stries de rugosité



Motif de rugosité

## 5.2.2 Paramètre AR ( ISO 12085 )

AR = Pas moyen des motifs de rugosité  
= Moyenne arithmétique des longueurs AR<sub>i</sub> des motifs de rugosité

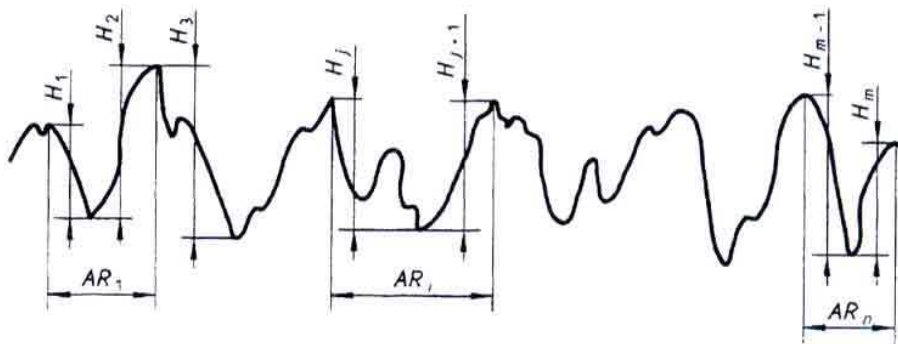
$$AR = \frac{1}{n} \sum_{j=1}^n AR_i \quad \text{avec } m = 2n \text{ car il y a 2 fois plus de valeurs } H_j \text{ que de valeurs } AR_i$$

Il est conseillé d'indiquer le paramètre AR dans le cas d'un dépôt électrolytique où une valeur trop faible de AR nuit à l'accrochage du dépôt.

## 5.2.3 Paramètre Rx ( ISO 12085 )

Rx = Profondeur maximum d'une irrégularité de profil  
= Plus grande des profondeurs H<sub>j</sub> des motifs de rugosité à l'intérieur de la longueur d'évaluation

Sur la figure ci-dessous on a : Rx = H<sub>3</sub>

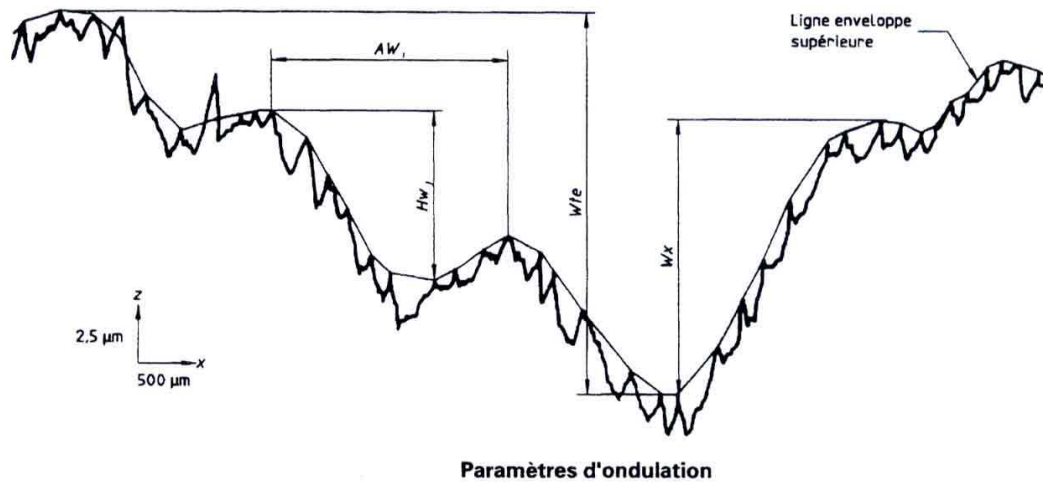


**Paramètres de rugosité**

Il est conseillé d'indiquer le paramètre Rx dans les cas suivants :

- Etanchéité statique ( ES ) ; une valeur de Rx trop grande implique des fuites car l'écrasement du joint n'absorbe pas la profondeur trop grande des stries
- Résistance aux efforts alternés ( EA ) ; une valeur de Rx trop grande crée une amorce de rupture
- Etanchéité dynamique sans joint ( ED ) pour limiter les fuites
- Etanchéité dynamique avec joint ( ED ) pour éviter la détérioration du joint si Rx est trop grand
- Résistance à la corrosion ; une valeur de Rx trop grande nuit à la pénétration des revêtements

### 5.3 Les Paramètres d'ondulation



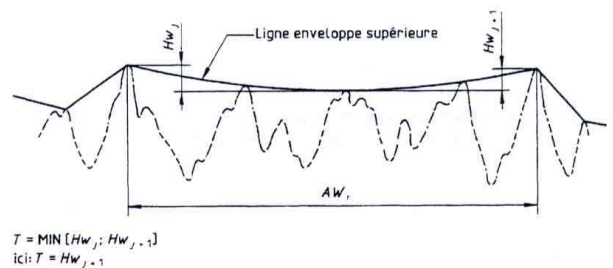
#### 5.3.1 Paramètre W ( ISO 12085 )

W = Profondeur moyenne des motifs d'ondulation  
 = Moyenne arithmétique des profondeurs  $H_{wj}$  des motifs d'ondulation

$$W = \frac{1}{m} \sum_{j=1}^m H_{wj} \quad \text{avec } m = \text{nombre de valeurs } H_{wj}$$

Définition du motif :

Le motif d'ondulation est déterminé sur la ligne enveloppe du profil primaire



#### 5.3.2 Paramètre Wx et Wte ( ISO 12085 )

Wx = Profondeur maximale d'ondulation  
 = Plus grande des profondeurs  $H_{wj}$  des motifs d'ondulation à l'intérieur de la longueur d'évaluation

Wte = Profondeur totale d'ondulation  
 = Distance entre le point le plus haut et le point le plus bas de la ligne enveloppe supérieure du profil primaire

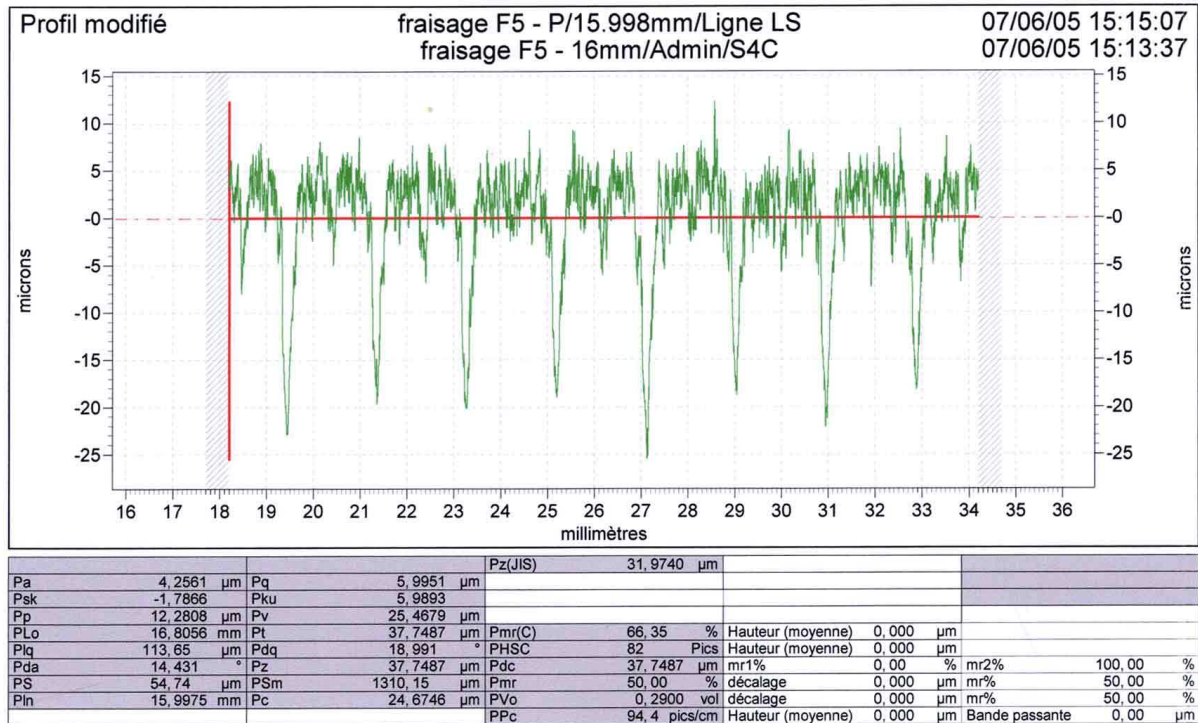
Il est conseillé d'indiquer le paramètre Wx dans les cas suivants :

- Etanchéité dynamique avec joint ( ED ) pour éviter la détérioration du joint par fatigue lors de l'écrasement-relâchement si Wx est trop grand
- Dans le cas de roulement pour éviter les phénomènes de bruits et résonances

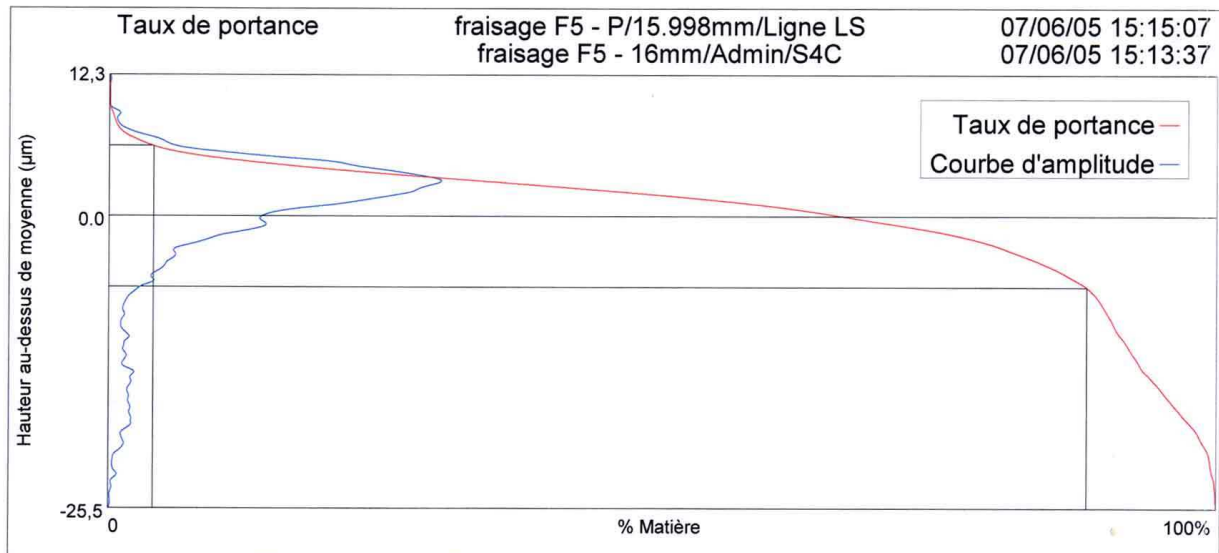
# 6 Exemples d'analyses

Soit une surface qui a été usinée en fraisage dans les conditions suivantes :

- a) Usinage par fraisage avec une fraise ARS Ø63mm de 8 dents, Vc=25 m/min, Profondeur de passe=1mm, fz=0,25mm/dent,
- b) Rodage manuel de la surface



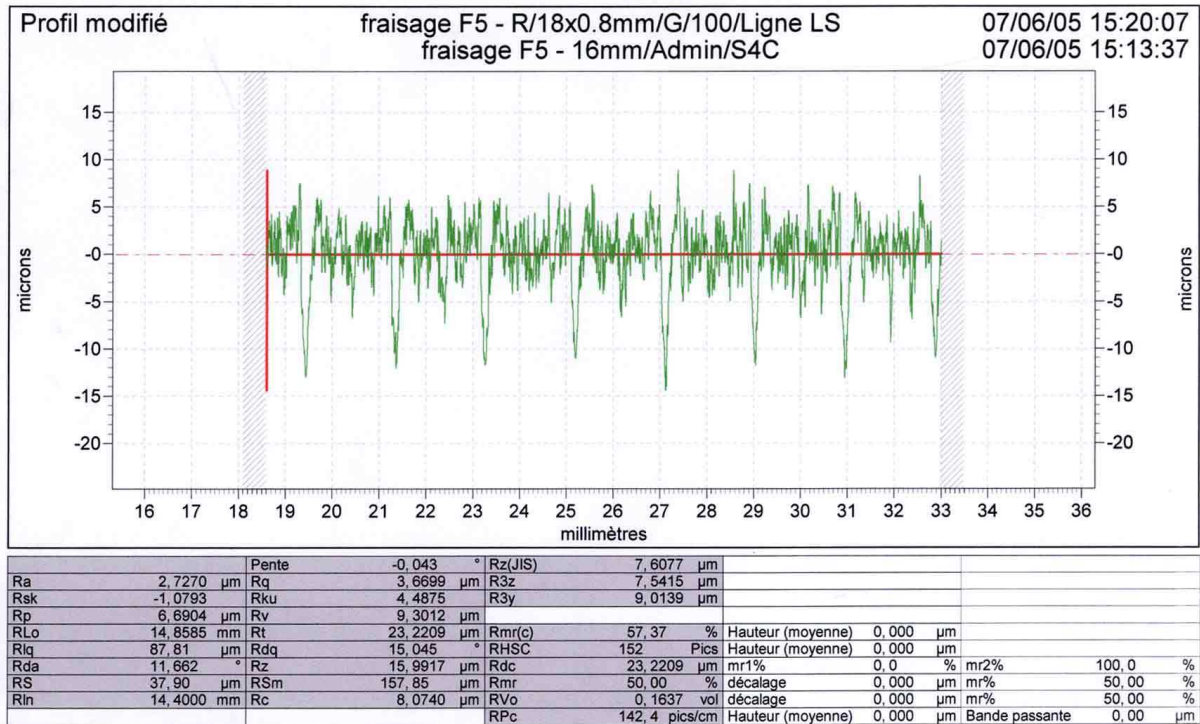
On distingue sur le graphique ci-dessus que les stries les plus profondes sont espacées de 2 mm, ce qui correspond à l'avance par tour = 0,25 mm/dent x 8 dents. Les saillies les plus élevées issues du fraisage ont été enlevées par l'opération de rodage. On voit ainsi que le profil comporte beaucoup plus de points au-dessus de la ligne moyenne (altitude=0) d'où la courbe de distribution d'amplitude (en bleu ci-dessous) qui est asymétrique (le paramètre Psk est donc négatif et vaut -1,78) et pointue (le paramètre Pku est >3 et vaut 5,98).



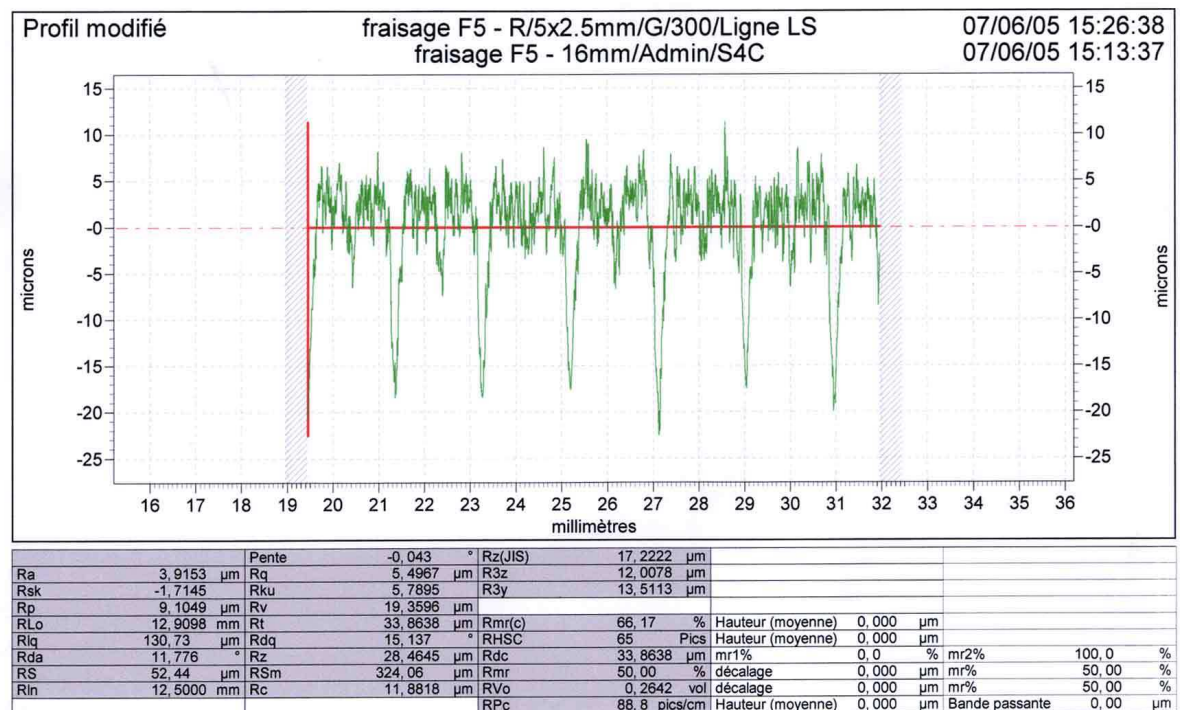
Curseur Supérieur			Bande			Curseur Inférieur		
Niveau	6,10	μm	Bande/Htp	12,27	μm	Niveau	-6,17	μm
mr1%	4,0	%	Delta mr%	84,3	%	mr2%	88,3	%
HSC	26	Pics	Comptage Pic	7	pics/cm	HSC	13	Pics

## 6.1 Analyse des paramètres de rugosité Ra, Rz, Rsm d'après ISO 4287

Le graphique ci-dessous est obtenu en utilisant un filtre gaussien de longueur d'onde  $\lambda_c = 0,8\text{mm}$   
 On remarque que  $R_t = 23,2\mu\text{m}$  est très inférieur à  $P_t$  qui vaut  $37,7\mu\text{m}$ . Le signal est trop atténué par le filtre.  
 D'après la norme les paramètres Ra, Rz et Rsm devraient se situer dans les intervalles suivants :  
 $0,1 < R_a < 2\mu\text{m}$ ,  $0,5 < R_z < 10\mu\text{m}$ , et  $130 < R_{sm} < 400\mu\text{m}$ . **On voit que seul  $R_{sm} = 157\mu\text{m}$  est dans la plage indiquée. On fait alors une autre analyse avec  $\lambda_c = 2,5\text{mm}$**



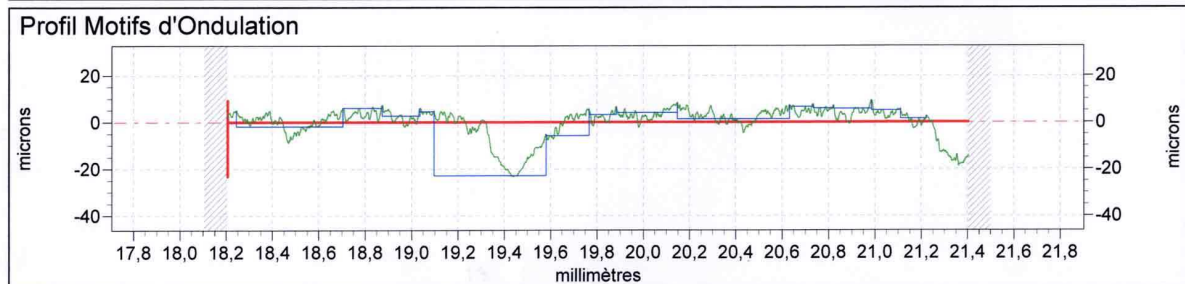
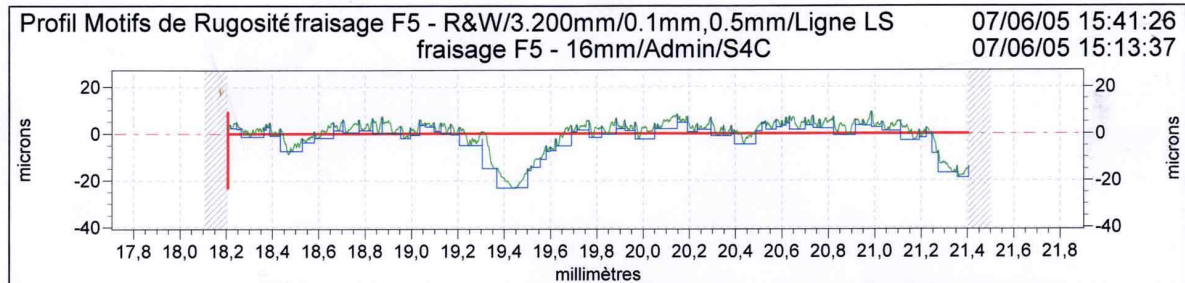
Le graphique ci-dessous est obtenu en utilisant un filtre gaussien de longueur d'onde  $\lambda_c = 2,5\text{mm}$



D'après la norme les paramètres Ra, Rz et Rsm devraient se situer dans les intervalles suivants :  
 $2 < R_a < 10\mu\text{m}$ ,  $10 < R_z < 50\mu\text{m}$ , et  $400 < R_{sm} < 1300\mu\text{m}$ . **On voit que seul  $R_{sm}$  n'est pas dans la plage prescrite et que  $R_t = 33,8\mu\text{m}$  est plus proche de  $P_t$ . L'atténuation due au filtre est moindre.  $R_{sm}$  hors plage est dû au mode d'obtention de la surface par fraisage puis rodage.  $\lambda_c = 2,5\text{mm}$  est le bon filtre.**

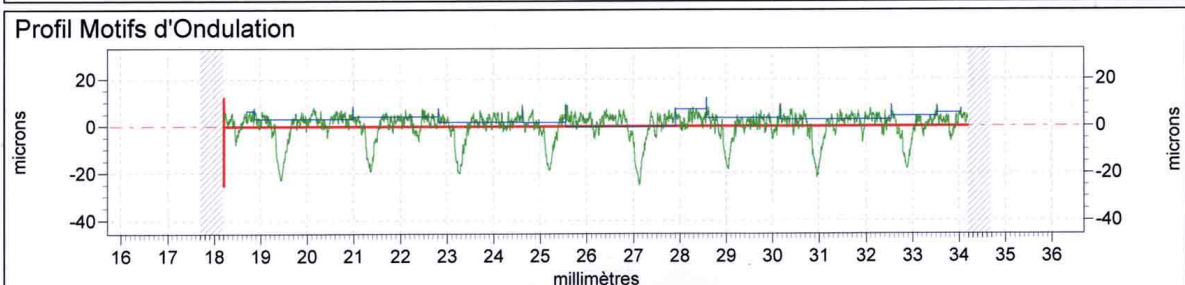
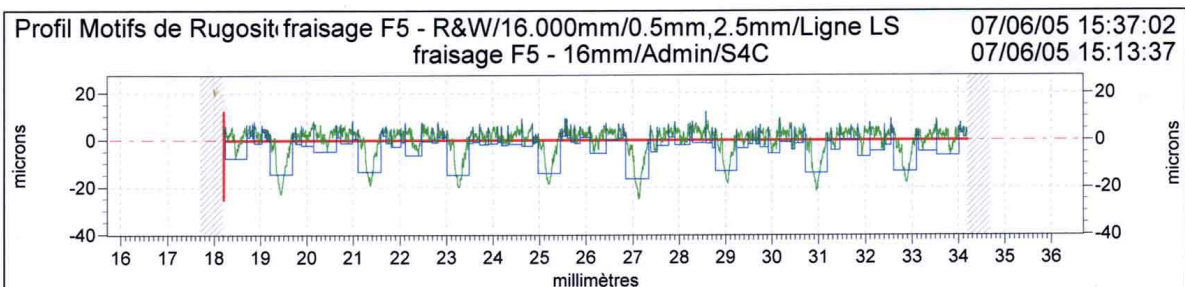
## 6.2 Analyse R et W d'après ISO 12085

1<sup>ère</sup> Interprétation : on utilise simultanément les 2 filtres standards  $\lambda_c = 0,1\text{mm}$  (pour la rugosité) et  $\lambda_f = 0,5\text{mm}$  (pour l'ondulation). La longueur des données est réduite à 3,2mm bien que la longueur palpée soit de 16mm. Les motifs de rugosité et d'ondulation ne sont pas représentatifs de la réalité et les paramètres calculés sont par conséquent mauvais.



			Pente	-0,079	°		
Pt	32,45	µm	Rx	15,83	µm	W	5,13 µm
R	4,00	µm	Wx	28,66	µm	Aw	235,9 µm
Ar	46,2	µm	Sr	2,45	µm	Sw	6,22 µm
Wte	32,02	µm	Sar	25,0	µm	Saw	151,3 µm

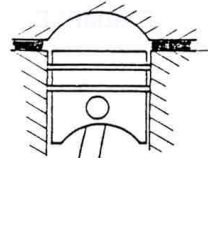
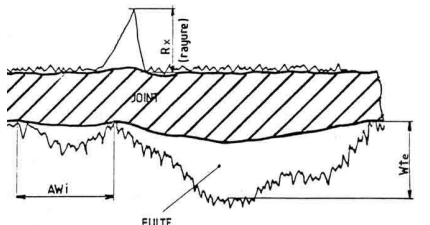
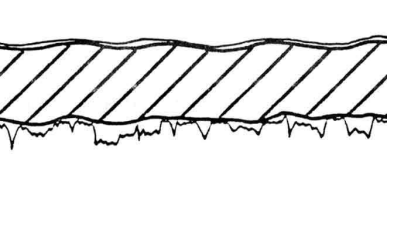
2<sup>ème</sup> Interprétation : on utilise simultanément les 2 filtres standards  $\lambda_c = 0,5\text{mm}$  (pour la rugosité) et  $\lambda_f = 2,5\text{mm}$  (pour l'ondulation). La longueur des données est identique à la longueur palpée soit, 16mm. Les motifs de rugosité et d'ondulation représentent bien la réalité et les paramètres calculés sont par conséquent bons.



			Pente	-0,043	°		
Pt	37,26	µm	Rx	28,42	µm	W	5,50 µm
R	7,60	µm	Wx	9,43	µm	Aw	1517,1 µm
Ar	164,5	µm	Sr	5,83	µm	Sw	2,28 µm
Wte	12,28	µm	Sar	145,4	µm	Saw	694,6 µm

# 7 Exemples industriels d'indications de paramètres

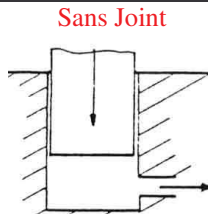
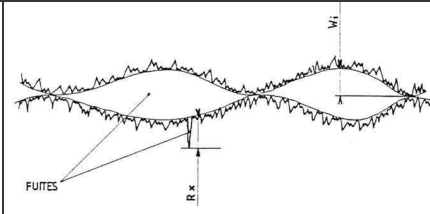
## 7.1 Etanchéité Statique

Fonction	Mauvais	Bon	Indication
			$\sqrt{\frac{Wte}{Rx}}$

Exemples : Joint de culasse  
 Joint de carter  
 Joint d'embase pour distributeur pneumatique

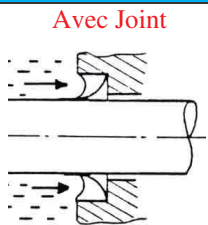
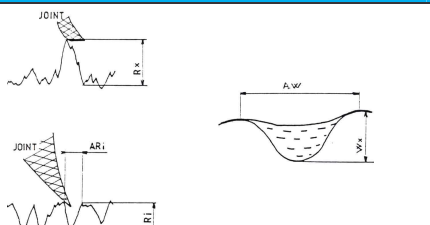
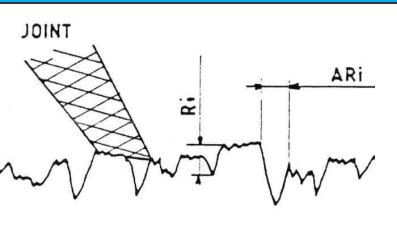
Commentaires :  
 Si les surfaces étaient une succession de pics et de creux réguliers, le joint, si souple soit-il, ne pourrait combler toutes ces irrégularités d'où les spécifications de Rx et Wte tout en ayant  $W \leq R$ .

## 7.2 Etanchéité Dynamique

Fonction	Mauvais	Bon	Indication
<b>Sans Joint</b> 			$\sqrt{\frac{Pmr(c)}{Rx}}$

Exemples : Piston sans joint assurant une pression  
 Injecteur  
 Tiroir de distributeur hydraulique  
 Boite de vitesses automatique

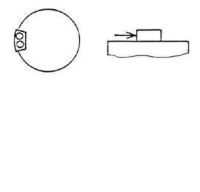
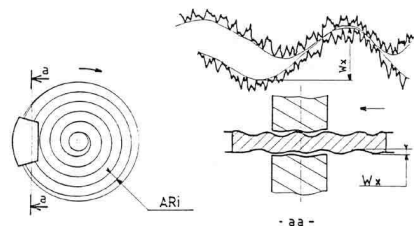
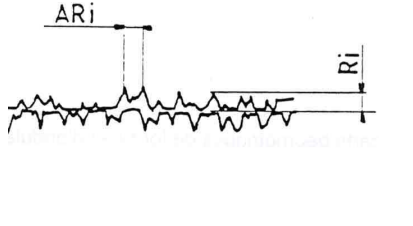
Commentaires :  
 Les surfaces en contact ne doivent pas favoriser les risques de fuite, d'où les spécifications Rx et du taux de longueur portante du profil total Pmr(c), l'ondulation devant rester acceptable, c'est-à-dire  $W \leq 0,6 R$ .

Fonction	Mauvais	Bon	Indication
<b>Avec Joint</b> 			$\sqrt{\frac{R}{Wx}}$

Exemple : Joint de vilebrequin  
 Arbre de sortie de réducteur

Commentaires :  
 La pièce ne doit pas user la lèvre du joint et l'ondulation ne doit pas être un facteur de fuite, d'où les spécifications R et Wx, sachant que  $W \leq 0,6 R$ .

### 7.3 Frottement Sec

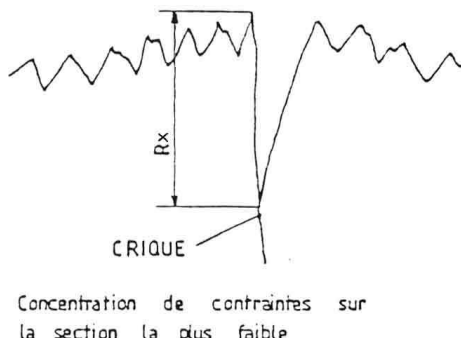
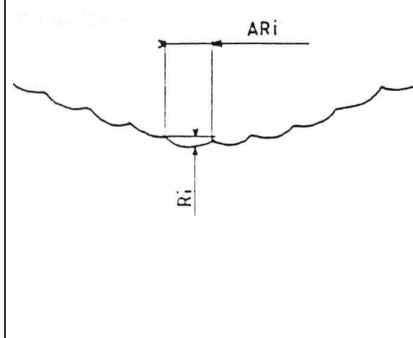
Fonction	Mauvais	Bon	Indication
			$\sqrt{\frac{R}{W_x}}$

Exemple : Freins à disques, Tambour  
Charbons sur collecteur de moteur électrique

Commentaires :

La seule spécification de R n'empêche pas le phénomène ondulatoire  
Aucun obstacle majeur ne doit venir empêcher le coulissement d'une pièce par rapport à une autre, d'où les spécifications R et  $W_x$ , et AR dans le cas du disque de frein.

### 7.4 Résistance à la fatigue

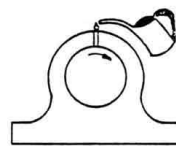
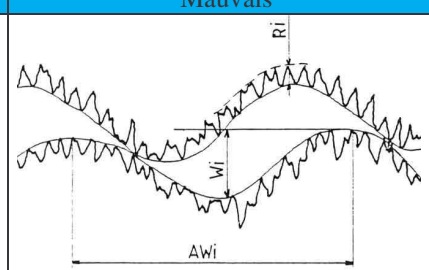
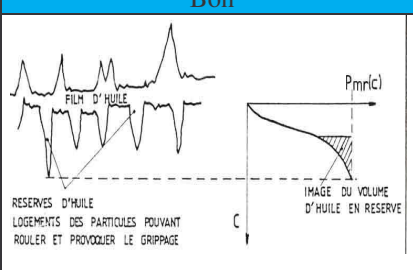
Fonction	Mauvais	Bon	Indication
	 Concentration de contraintes sur la section la plus faible		$\sqrt{R_x}$

Exemple : Barres de torsion  
Ressorts et Amortisseurs

Commentaires :

La surface ne doit pas présenter d'amorce de rupture, d'où la spécification de  $R_x$ . On peut également mentionner une valeur de AR/R

### 7.5 Frottement de Glissement

Fonction	Mauvais	Bon	Indication
		 RESERVES D'HUILE LOGEMENTS DES PARTICULES POUVANT ROULER ET PROVOQUER LE GRIPPAGE IMAGE DU VOLUME D'HUILE EN RESERVE	$\sqrt{\frac{R}{P_{mr}(c)}}$

Exemple : Glissières de machine-outil  
Paliers de vilebrequin

Commentaires :

La seule spécification de R n'empêche pas le phénomène ondulatoire. La présence d'ondulation va espacer les points de contact et provoquer la rupture du film d'huile. Le film d'huile, condition de durabilité de l'ensemble fonctionnel, ne doit en aucun cas être rompu par la microgéométrie des pièces en contact, d'où les spécifications de R et du taux de longueur portante du profil total  $P_{mr}(c)$ .